

相机模型与投影变换

章国锋

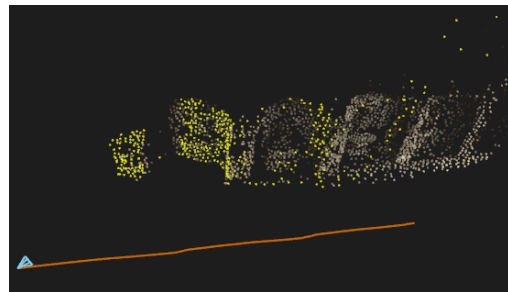
浙江大学**CAD&CG**国家重点实验室



视频场景重建的流程



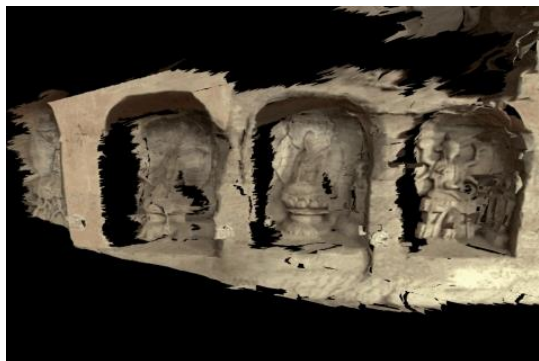
运动恢复
结构



深度恢复



三维
重建



齐次坐标

在原有的坐标上增加一个维度:

$$\begin{bmatrix} x \\ y \end{bmatrix} \rightarrow \begin{bmatrix} x \\ y \\ 1 \end{bmatrix}$$

$$\begin{bmatrix} x \\ y \\ z \end{bmatrix} \rightarrow \begin{bmatrix} x \\ y \\ z \\ 1 \end{bmatrix}$$

新增的维度并不会增加自由度:

$$(x, y, z, w) \quad w \neq 0 \rightarrow (x/w, y/w, z/w)$$

齐次坐标

使用齐次坐标判断点是否在线上

$$l = \begin{bmatrix} l_1 \\ l_2 \\ l_3 \end{bmatrix}$$

$$x^T l = [u \quad v \quad 1] \begin{bmatrix} l_1 \\ l_2 \\ l_3 \end{bmatrix} = 0$$

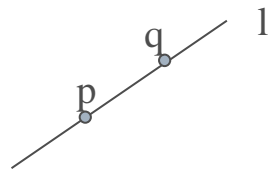
使用齐次坐标判断点是否在平面上

$$\pi = \begin{bmatrix} n_1 \\ n_2 \\ n_3 \\ d \end{bmatrix}$$

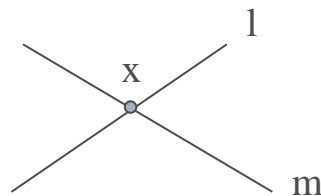
$$x^T \pi = [x \quad y \quad z \quad 1] \begin{bmatrix} n_1 \\ n_2 \\ n_3 \\ d \end{bmatrix} = 0$$

齐次坐标

- 两个点定义一条直线: $l = p \times q$

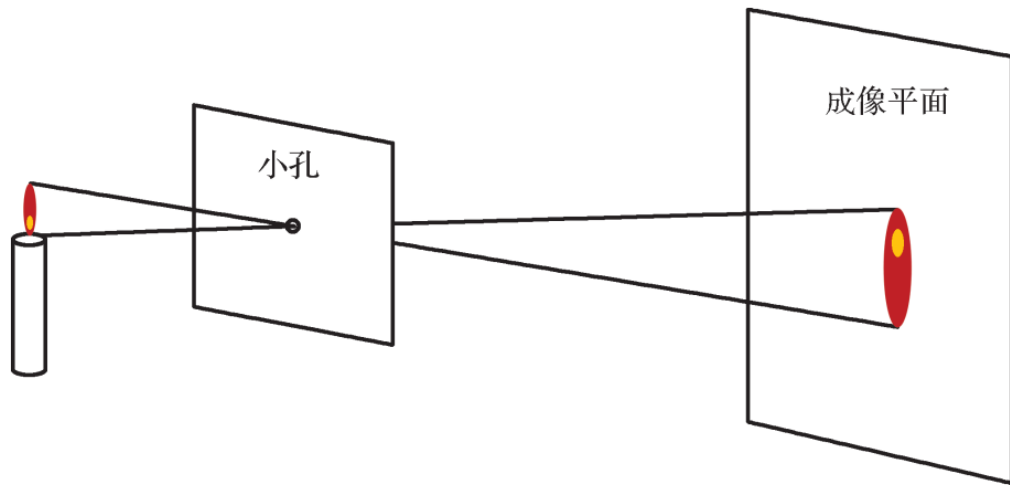


- 两条直线定义一个点: $x = l \times m$



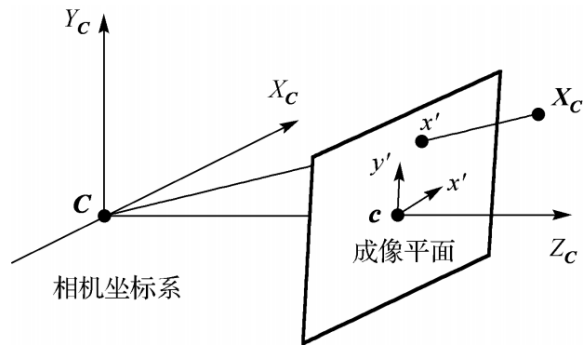
针孔相机模型

针孔成像模型是一个理想的透视投影变换，将三维空间点变换为图像空间的像素点

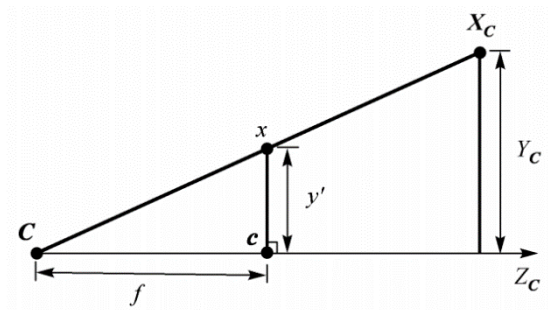


小孔成像原理

针孔相机模型



相机坐标系与像平面坐标系间的几何关系



三维空间点与它在像平面上投影点之间的几何关系

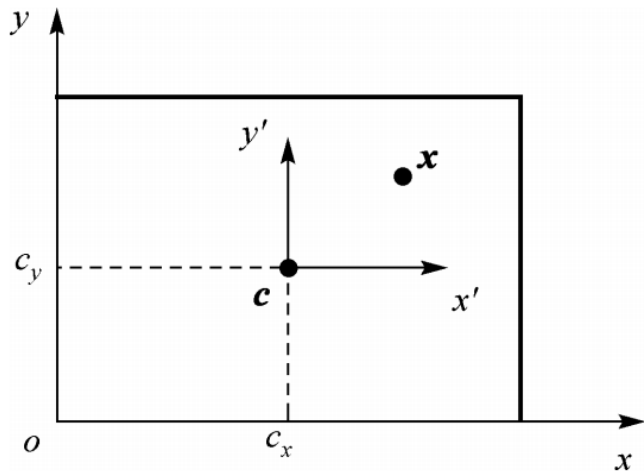
投影方程:

$$\begin{pmatrix} x' \\ y' \\ f \end{pmatrix} \sim \begin{pmatrix} X_C \\ Y_C \\ Z_C \end{pmatrix}$$

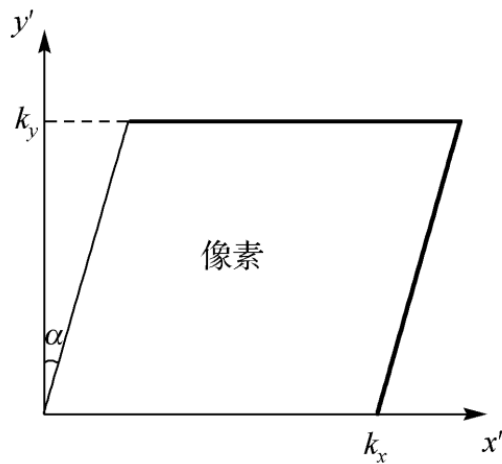
齐次坐标表示:

$$\begin{pmatrix} x' \\ y' \\ f \end{pmatrix} \sim \begin{bmatrix} 1 & 0 & 0 & 0 \\ 0 & 1 & 0 & 0 \\ 0 & 0 & 1 & 0 \end{bmatrix} \begin{pmatrix} X_C \\ Y_C \\ Z_C \\ 1 \end{pmatrix}$$

内参矩阵



图像空间坐标系的定义



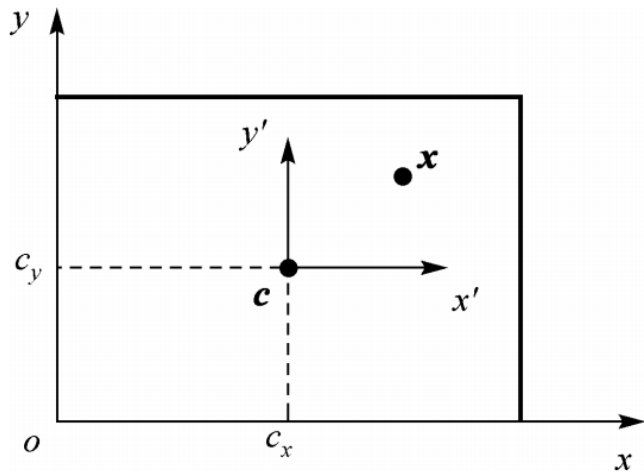
像素形变示意图

投影点 x 的图像像素坐标 (x, y) 和它在成像平面上坐标 (x', y') 之间的关系如下

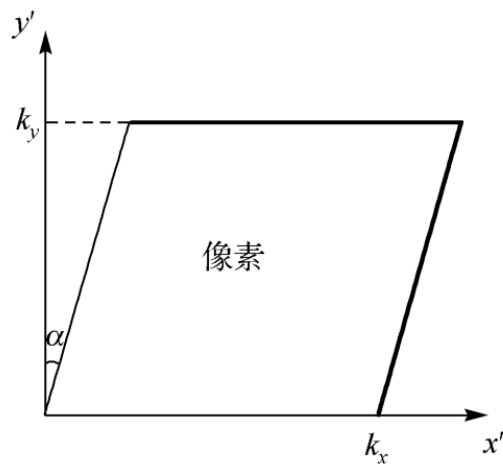
$$x' / k_x = x - c_x$$

$$y' / k_y = y - c_y$$

内参矩阵



图像空间坐标系的定义

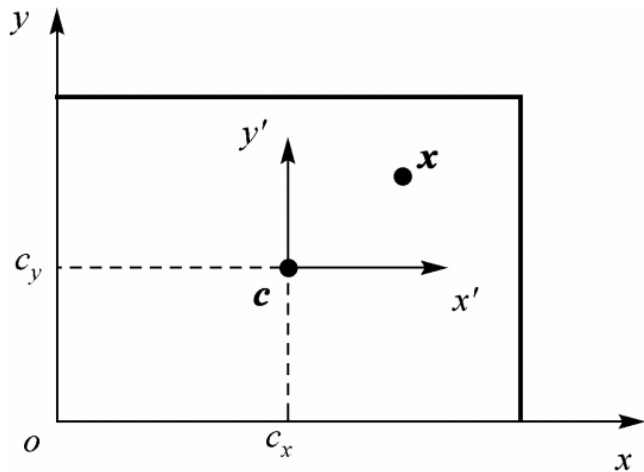


像素形变示意图

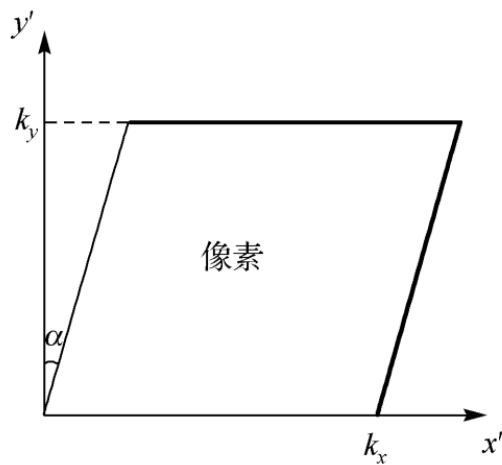
齐次坐标表示:

$$\begin{pmatrix} x \\ y \\ 1 \end{pmatrix} = \frac{1}{f} \begin{bmatrix} \frac{f}{k_x} & c_x \\ \frac{f}{k_y} & c_y \\ 1 \end{bmatrix} \begin{pmatrix} x' \\ y' \\ f \end{pmatrix}$$

内参矩阵



图像空间坐标系的定义

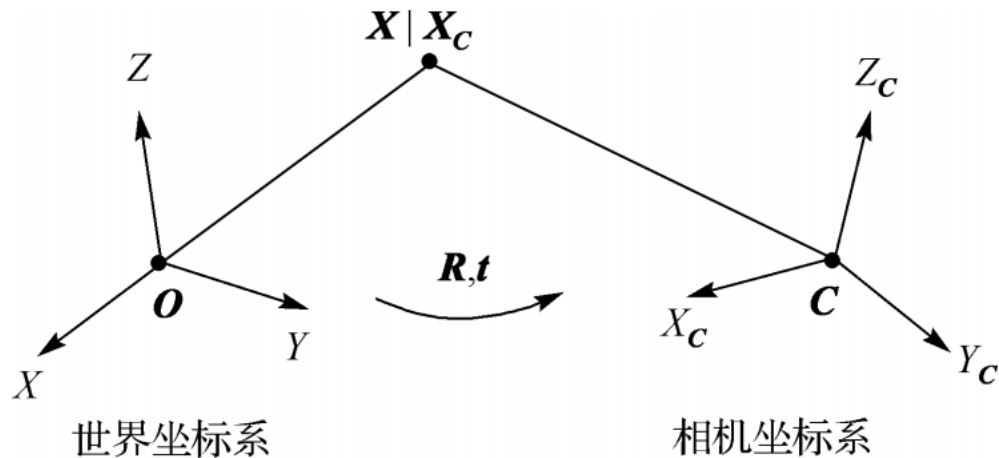


像素形变示意图

考虑像素倾斜畸变:

$$\mathbf{K} = \begin{bmatrix} \frac{f}{k_x} & \frac{f}{k_y} \tan \alpha & c_x \\ & \frac{f}{k_y} & c_y \\ & & 1 \end{bmatrix} = \begin{bmatrix} f_x & s & c_x \\ & f_y & c_y \\ & & 1 \end{bmatrix}$$

相机的外部参数



$$X_C = [R | t] \hat{X} = [R | -R\tilde{C}] \hat{X}$$

透视相机模型

世界坐标系到图像坐标系的变换

$$\hat{\mathbf{x}} \sim \mathbf{K}\mathbf{X}_C = \mathbf{K}[\mathbf{R} | \mathbf{t}]\hat{\mathbf{X}}$$

透视投影矩阵 $\mathbf{P} = \mathbf{K}[\mathbf{R} | \mathbf{t}]$

11个自由度: 5+3+3

投影矩阵求解

$$\hat{\mathbf{x}} \sim P\hat{X}$$

第 i 个点对

二维图像点坐标

$$\mathbf{x}_i = (x_i, y_i)^\top$$

三维点坐标

$$\mathbf{X}_i = (X_i, Y_i, Z_i)^\top$$

$$\begin{bmatrix} x_i \\ y_i \\ 1 \end{bmatrix} \sim \begin{bmatrix} P_{11} & P_{12} & P_{13} & P_{14} \\ P_{21} & P_{22} & P_{23} & P_{24} \\ P_{31} & P_{32} & P_{33} & P_{34} \end{bmatrix} \begin{bmatrix} X_i \\ Y_i \\ Z_i \\ 1 \end{bmatrix}$$

$$x_i = \frac{P_{11}X_i + P_{12}Y_i + P_{13}Z_i + P_{14}}{P_{31}X_i + P_{32}Y_i + P_{33}Z_i + P_{34}}$$

$$y_i = \frac{P_{21}X_i + P_{22}Y_i + P_{23}Z_i + P_{24}}{P_{31}X_i + P_{32}Y_i + P_{33}Z_i + P_{34}}$$

投影矩阵求解

$$\hat{\mathbf{x}} \sim \mathbf{P}\hat{\mathbf{X}}$$

第 i 个点

二维图像点坐标

$$\mathbf{x}_i = (x_i, y_i)^\top$$

三维点坐标

$$\mathbf{X}_i = (X_i, Y_i, Z_i)^\top$$

$$\begin{bmatrix} x_i \\ y_i \\ 1 \end{bmatrix} \sim \begin{bmatrix} P_{11} & P_{12} & P_{13} & P_{14} \\ P_{21} & P_{22} & P_{23} & P_{24} \\ P_{31} & P_{32} & P_{33} & P_{34} \end{bmatrix} \begin{bmatrix} X_i \\ Y_i \\ Z_i \\ 1 \end{bmatrix}$$

$$P_{11}X_i + P_{12}Y_i + P_{13}Z_i + P_{14} - x_iP_{31}X_i - x_iP_{32}Y_i - x_iP_{33}Z_i - x_iP_{34} = 0$$

$$P_{21}X_i + P_{22}Y_i + P_{23}Z_i + P_{24} - y_iP_{31}X_i - y_iP_{32}Y_i - y_iP_{33}Z_i - y_iP_{34} = 0$$

投影矩阵求解

$$\mathbf{L} = [P_{11}, P_{12}, P_{13}, P_{14}, P_{21}, P_{22}, P_{23}, P_{24}, P_{31}, P_{32}, P_{33}, P_{34}]^T$$

给定 n 个标定点，可以列 $2n$ 个方程

$$\mathbf{A}\mathbf{L} = \mathbf{0}$$

$$\mathbf{A} = \begin{bmatrix} X_1 & Y_1 & Z_1 & 1 & 0 & 0 & 0 & 0 & -x_1 X_1 & -x_1 Y_1 & -x_1 Z_1 & -x_1 \\ 0 & 0 & 0 & 0 & X_1 & Y_1 & Z_1 & 1 & -y_1 X_1 & -y_1 Y_1 & -y_1 Z_1 & -y_1 \\ \vdots & \vdots & \vdots & \vdots & \vdots & \vdots & \vdots & \vdots & \vdots & \vdots & \vdots & \vdots \\ X_n & Y_n & Z_n & 1 & 0 & 0 & 0 & 0 & -x_n X_n & -x_n Y_n & -x_n Z_n & -x_n \\ 0 & 0 & 0 & 0 & X_n & Y_n & Z_n & 1 & -y_n X_n & -y_n Y_n & -y_n Z_n & -y_1 \end{bmatrix}$$

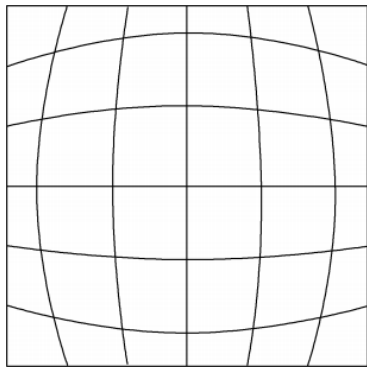
投影矩阵求解

- 线性初始化之后，再通过最小化重投影距离进行非线性优化

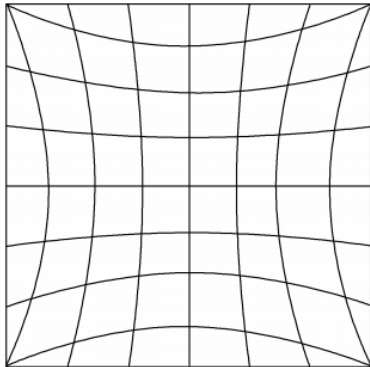
$$\min_{\mathbf{P}} \sum_{i=1}^n d(\mathbf{x}_i, \pi(\mathbf{P}\hat{\mathbf{X}}_i))^2, \quad \text{s.t. } \|\mathbf{P}\|=1$$

通常采用LM (Levenburg-Marquadt) 算法优化

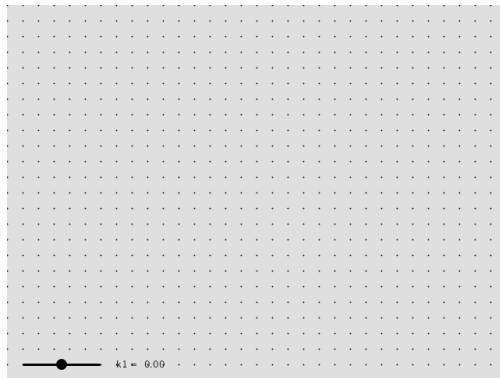
径向畸变



桶形畸变



枕形畸变



径向畸变的效果

(<https://jinyu.li/2017/01/10/radial-distortion/>)

- 数学模型:

准确的投影点坐标 (x', y')

畸变的投影点坐标 (x'_d, y'_d)

中心距离 $r^2 = x'^2 + y'^2$

$$x'_d = x'(1 + \kappa_1 r^2 + \kappa_2 r^4 + \kappa_3 r^6 + \dots)$$

$$y'_d = y'(1 + \kappa_1 r^2 + \kappa_2 r^4 + \kappa_3 r^6 + \dots)$$

径向畸变矫正



图片来源: <https://sites.google.com/site/homeofmiao/home/radial-distortion>

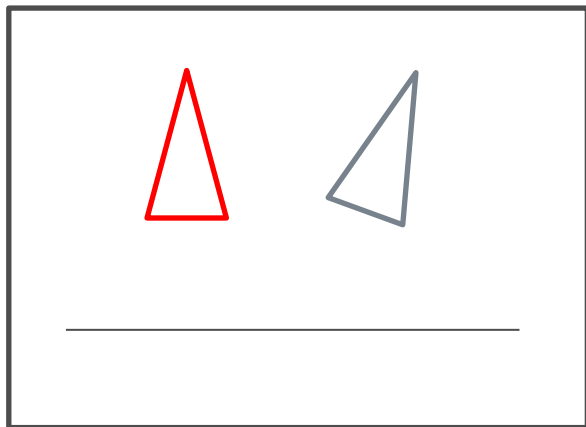
切向畸变

切向畸变主要是由于透镜和成像平面不严格平行造成的

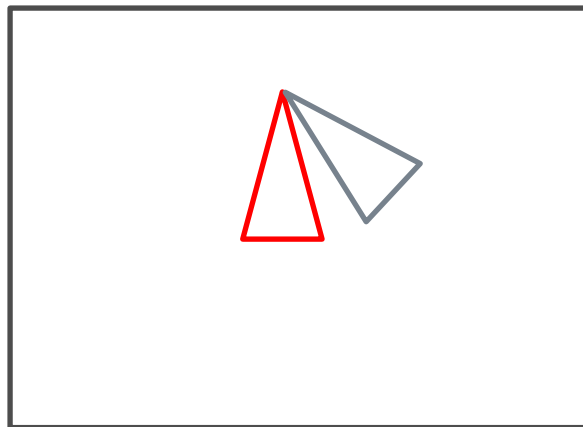
$$x'_d = x'(1 + \kappa_1 r^2 + \kappa_2 r^4 + \cdots) + 2p_1 x'y' + p_2(r^2 + 2x'^2)$$

$$y'_d = y'(1 + \kappa_1 r^2 + \kappa_2 r^4 + \cdots) + p_1(r^2 + 2y'^2) + 2p_2 x'y'$$

单应性矩阵



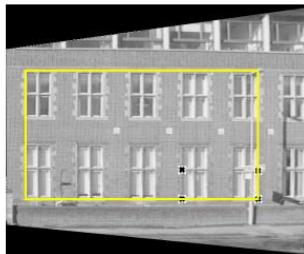
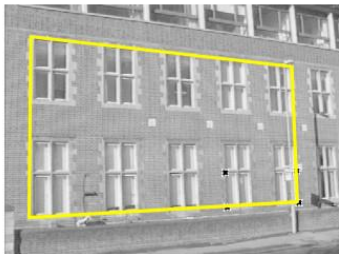
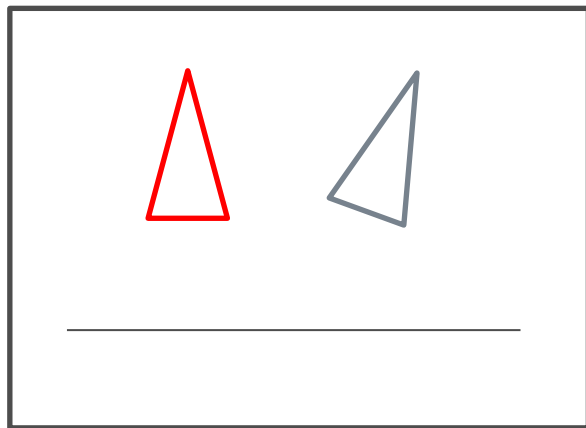
拍摄平面



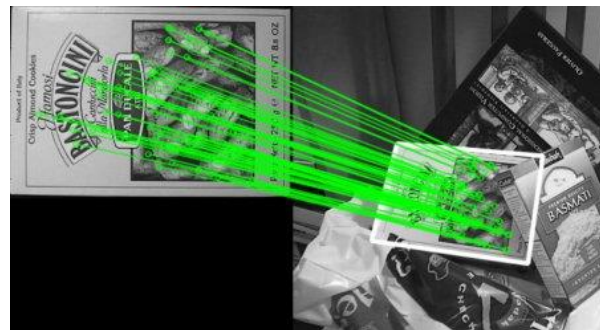
纯旋转

$$c \begin{pmatrix} u_2 \\ v_2 \\ 1 \end{pmatrix} = \begin{pmatrix} h_1 & h_2 & h_3 \\ h_4 & h_5 & h_6 \\ h_7 & h_8 & h_9 \end{pmatrix} \begin{pmatrix} u_1 \\ v_1 \\ 1 \end{pmatrix}$$

单应性矩阵

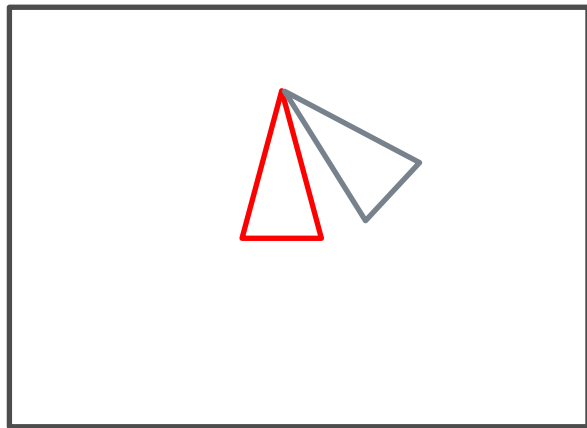


from Hartley & Zisserman



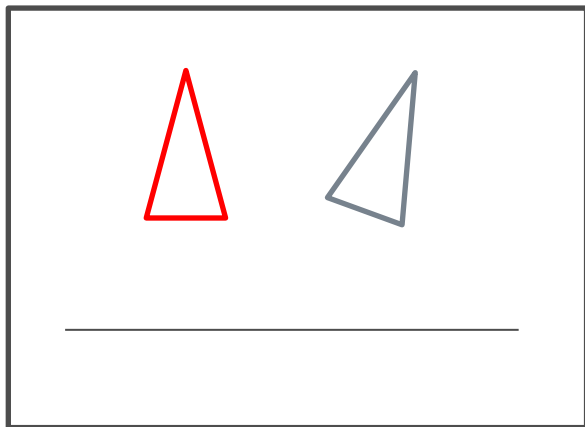
From OpenCV Tutorial

单应性矩阵



From AutoStitch

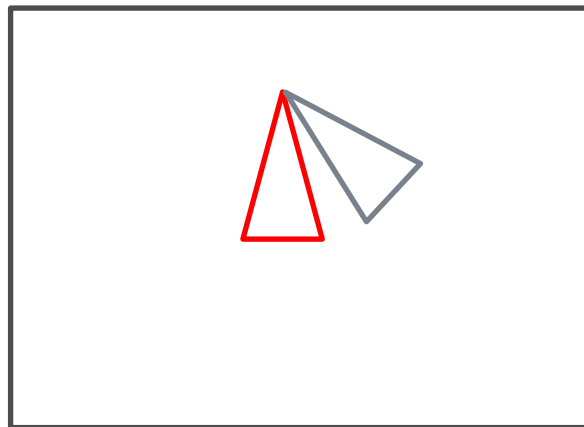
单应性矩阵



拍摄平面

$$\pi = \begin{bmatrix} \mathbf{n} \\ d \end{bmatrix}$$

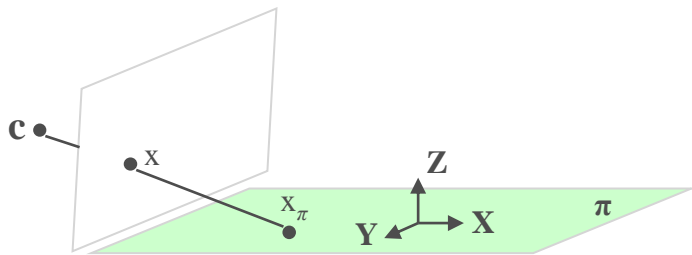
$$H = K_2(R - \frac{tn}{d})K_1^{-1}$$



纯旋转

$$H = K_2RK_1^{-1}$$

单应性矩阵：平面射影变换



选择该平面作为世界坐标系的 $Z=0$ 的平面，那么 3×4 的摄影矩阵可以被归约：

$$\begin{pmatrix} x_1 \\ x_2 \\ x_3 \end{pmatrix} = \begin{pmatrix} p_{11} & p_{12} & p_{13} & p_{14} \\ p_{21} & p_{22} & p_{23} & p_{24} \\ p_{31} & p_{32} & p_{33} & p_{34} \end{pmatrix} \begin{pmatrix} X \\ Y \\ 0 \\ 1 \end{pmatrix} = \begin{pmatrix} p_{11} & p_{12} & p_{14} \\ p_{21} & p_{22} & p_{24} \\ p_{31} & p_{32} & p_{34} \end{pmatrix} \begin{pmatrix} X \\ Y \\ 1 \end{pmatrix}$$

其中该 3×3 的矩阵代表了从一个平面到另一个平面的变换

单应性矩阵：平面射影变换

$$\begin{pmatrix} x_1' \\ x_2' \\ x_3' \end{pmatrix} = \begin{bmatrix} h_{11} & h_{12} & h_{13} \\ h_{21} & h_{22} & h_{23} \\ h_{31} & h_{32} & h_{33} \end{bmatrix} \begin{pmatrix} x_1 \\ x_2 \\ x_3 \end{pmatrix}$$

$\mathbf{x}' = \mathbf{H}\mathbf{x}$, 其中 \mathbf{H} 是一个 3×3 非奇异的齐次矩阵.

- 在使用透视相机成像时，这是一种常用的变换来构建世界和成像平面之间的关系
- 平面射影变换又被称为具有单应性或共线性
- \mathbf{H} 拥有 8 个自由度

多视图几何

- 运动恢复结构
 - 从多张图片或者视频序列中自动恢复相机参数和场景三维结构



Noah Snavely, Steven M. Seitz, Richard Szeliski.
"Photo tourism: Exploring photo collections in 3D". 2016.

双视图几何

3D???



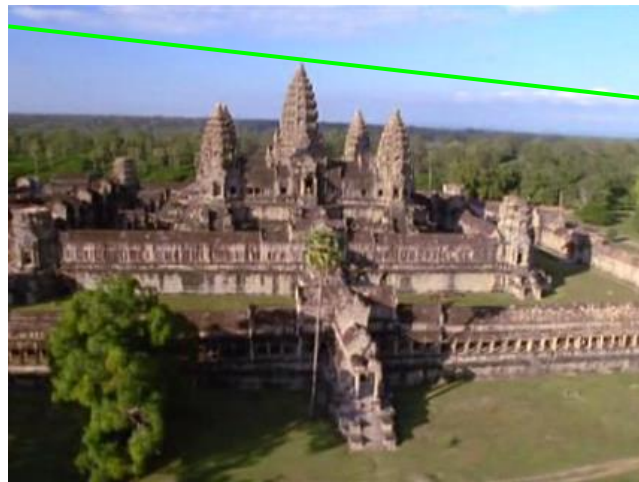
双视图几何

3D???

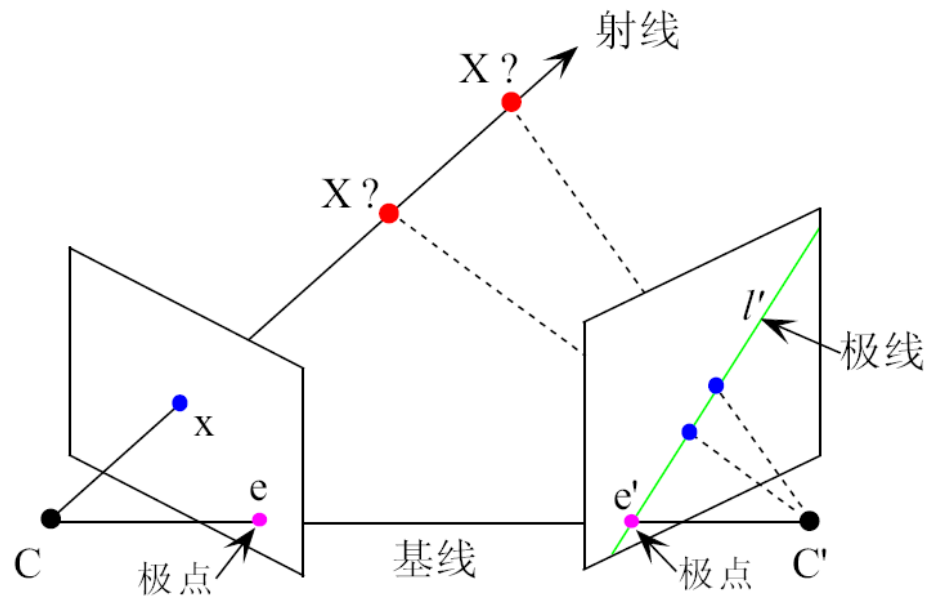


双视图几何

3D: 极线几何



极线几何



$$\hat{\mathbf{x}}'^{\top} F \hat{\mathbf{x}} = 0$$

向量外积的矩阵表示

向量的外积 $\mathbf{v} \times \mathbf{x}$ 可以被表示为矩阵乘法形式

$$\mathbf{v} \times \mathbf{x} = [\mathbf{v}]_{\times} \mathbf{x}$$

其中

$$[\mathbf{v}]_{\times} = \begin{bmatrix} 0 & -v_z & v_y \\ v_z & 0 & -v_x \\ -v_y & v_x & 0 \end{bmatrix}$$

- $[\mathbf{v}]_{\times}$ 是一个 3×3 秩为2的斜对称矩阵.
- \mathbf{v} 是矩阵 $[\mathbf{v}]_{\times}$ 的零向量: $\mathbf{v} \times \mathbf{v} = [\mathbf{v}]_{\times} \mathbf{v} = \mathbf{0}$.

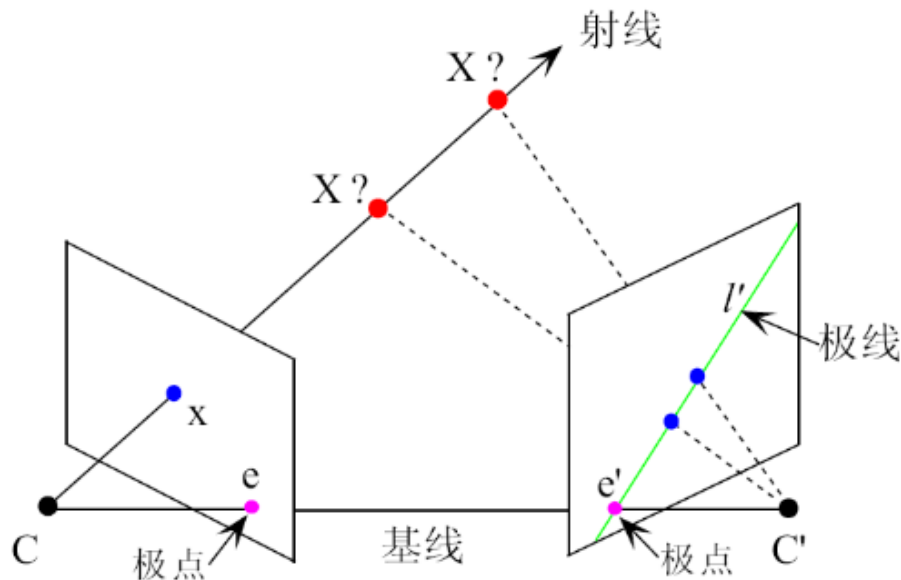
基础矩阵

- 只跟两个视图的相对相机姿态和内参有关

$$F = K_2^{-T} [t]_{\times} R K_1^{-1}$$

- F 是一个 3×3 秩为2的矩阵
- $Fe = 0$
- 7个自由度
- 最少7对匹配点就可以求解
 - 七点法
 - 八点法

OpenCV: `cvFindFundamentalMat()`



八点法求解基础矩阵

根据对极几何关系，基本矩阵 F 满足

$$\hat{x}'^\top F \hat{x} = 0$$

若设 $\mathbf{f} = (f_{11}, f_{12}, f_{13}, f_{21}, f_{22}, f_{23}, f_{31}, f_{32}, f_{33})^\top$

那么对极几何关系又可以写作：

$$(\hat{x}'_1 \hat{x}_1 \quad \hat{x}'_1 \hat{x}_2 \quad \hat{x}'_1 \quad \hat{x}'_2 \hat{x}_1 \quad \hat{x}'_2 \hat{x}_2 \quad \hat{x}'_2 \quad \hat{x}_1 \quad \hat{x}_2 \quad 1) \mathbf{f} = 0$$

若存在 n 对对应点， F 应满足如下的线性系统：

$$A\mathbf{f} = \begin{pmatrix} \hat{x}'_{11} \hat{x}_{11} & \hat{x}'_{11} \hat{x}_{12} & \hat{x}'_{11} & \hat{x}'_{12} \hat{x}_{11} & \hat{x}'_{12} \hat{x}_{12} & \hat{x}'_{12} & \hat{x}_{11} & \hat{x}_{12} & 1 \\ \vdots & \vdots & \vdots & \vdots & \vdots & \vdots & \vdots & \vdots & \vdots \\ \hat{x}'_{n1} \hat{x}_{n1} & \hat{x}'_{n1} \hat{x}_{n2} & \hat{x}'_{n1} & \hat{x}'_{n2} \hat{x}_{n1} & \hat{x}'_{n2} \hat{x}_{n2} & \hat{x}'_{n2} & \hat{x}_{n1} & \hat{x}_{n2} & 1 \end{pmatrix} \mathbf{f} = 0$$

基础矩阵

- \mathbf{f} 为 9 维向量, 若有解, $\text{rank}(F)$ 至多为 8
 - 在 $\text{rank}(F) = 8$ 时, \mathbf{f} 的方向是唯一的
 - 通过至少 8 对对应点, 可恰好得到使 \mathbf{f} 方向唯一的 F
- \mathbf{f} 为 F 的右零空间的基向量, 可用 $\text{SVD}(F)$ 求得
- 当对应点超过 8 对时且可能有外点时, 我们一般先使用 RANSAC 方法来求解并筛选出内点, 并求解得到最优的 F^*

基础矩阵

- 在得到初解后，我们一般还要根据所有内点对 F 做非线性优化，其中 g 为距离度量函数， x_i, x'_i 为匹配点对：

$$\operatorname{argmin}_F \sum_i g(x_i, x'_i)$$

- 一般使用LM算法来优化该目标函数
- 常见的两种距离度量
 - 辛普森距离
 - 对称极线距离

基础矩阵

- 一阶几何误差(first-order geometric error), 又名辛普森距离(Sampson distance) :

- 令 $e = x_i'^T F x_i$, $J = \frac{\delta(x_i'^T F x_i)}{\delta x_i}$ 则第 i 对对应点的辛普森距离为

$$\frac{e^T e}{J J^T} = \frac{(x_i'^T F x_i)^2}{J J^T} = \frac{(x_i'^T F x_i)^2}{(F x_i)_1^2 + (F x_i)_2^2 + (F^T x_i')_1^2 + (F^T x_i')_2^2}$$

- 对称极线距离(symmetric epipolar distance), 它形式上与辛普森距离很像, 但是度量的是点到极线的距离:

$$\frac{(x_i'^T F x_i)^2}{(F x_i)_1^2 + (F x_i)_2^2} + \frac{(x_i'^T F x_i)^2}{(F^T x_i')_1^2 + (F^T x_i')_2^2}$$

谢 谢!